

Information and Codification

Lab Work nº 1 Report

FRANCISCO MURCELA (108815)

GONÇALO LIMA (108254)

XAVIER MACHADO (108019)

October 19, 2025

Contents

1	General Information	4
2	Parte 1	4
2.1	Exercício 1	4
2.1.1	Introdução e Objetivos	4
2.1.2	Desenvolvimento e Implementação	4
2.1.3	Classe <code>WAVHistExtended</code>	5
2.1.4	Algoritmo de processamento MID/SIDE	5
2.1.5	Algoritmo de Binning	6
2.1.6	Interface e Utilização	6
2.1.7	Exemplos de Utilização	7
2.1.8	Recuperação de Canais	7
2.1.9	Resultados Obtidos	8
2.1.10	Análise dos Resultados	10
2.1.11	Teste de Recuperação de Canais	12
2.2	Exercício 2	12
2.2.1	Introdução e Objetivos	12
2.2.2	Desenvolvimento e Implementação	12
2.2.3	Código Principal	13
2.2.4	Resultados Obtidos	13
2.2.5	Histogramas dos Sinais Quantizados	14
2.2.6	Análise dos Resultados	15
2.2.7	Conclusões	16
2.3	Exercício 3	17
2.3.1	Introdução e Objetivos	17
2.3.2	Desenvolvimento e Implementação	17
2.3.3	Código Principal	17
2.3.4	Resultados Obtidos	18
2.3.5	Análise Comparativa das Normas	19
2.3.6	Análise dos Resultados	20
2.3.7	Conclusões	21
2.4	Exercício 4: Processador de Efeitos de Áudio - Resumo	21
2.4.1	Objetivo e Implementação	21
2.4.2	Echo Effect (Eco Simples)	21
2.4.3	Multi-Echo Effect (Ecos Múltiplos)	22
2.4.4	Amplitude Modulation (Tremolo)	22
2.4.5	Chorus Effect (Delay Variável)	22
2.4.6	Reverb Effect (Schroeder)	22
2.5	Análise de Resultados	22

2.5.1	Métricas no Domínio do Tempo	22
2.5.2	Análise das Formas de Onda	23
2.5.3	Análise Espectral	24
2.5.4	Análise Tempo-Frequência	25
2.5.5	Eficiência Computacional	25
2.5.6	Características Técnicas	26
2.5.7	Conclusões	26
3	Parte 2	27
3.1	Exercício 5: Implementação do BitStream	27
3.1.1	Objetivos do Exercício	27
3.1.2	Desenvolvimento e Implementação	27
3.2	Exercício 6: Codec de Quantização com BitStream	30
3.2.1	Objetivos do Exercício	30
3.2.2	Arquitetura da Solução	30
3.2.3	Desenvolvimento e Implementação	31
3.2.4	Análise Espectral e Temporal	33
3.2.5	Resultados Experimentais	35
3.2.6	Vantagens do Codec BitStream	38
3.2.7	Conclusões	38
4	Parte 3 — Codec de Áudio DCT com Perdas	39
4.1	Metodologia de Implementação	39
4.1.1	Arquitetura da Solução	39
4.1.2	Processo de Codificação	39
4.2	Objetivo do Exercício	40
4.3	Desenvolvimento e Implementação	40
4.4	Resultados	41
4.4.1	Quadro resumo textual (T2—T7)	41
4.5	Análise de Resultados	42
4.6	Conclusão	42

1 General Information

2 Parte 1

2.1 Exercício 1

2.1.1 Introdução e Objetivos

Este capítulo documenta o desenvolvimento do **Exercício 1** que consistiu em estender a funcionalidade da classe `WAVHist` original para análise avançada de histogramas de áudio.

O exercício tinha como objetivos principais:

1. **Implementar canais MID e SIDE** para áudio estéreo:
 - Canal MID: $(L+R)/2$ — representa a componente mono do áudio;
 - Canal SIDE: $(L - R)/2$ — representa as diferenças espaciais entre canais.
2. **Implementar *coarser bins***: permitir o agrupamento de valores em grupos de $2, 4, 8, \dots, 2^k$ valores por bin.
3. **Gerar visualizações gráficas** dos histogramas em formato de imagem.
4. **Demonstrar a recuperação** dos canais L e R originais a partir de *MID* e *SIDE*.

2.1.2 Desenvolvimento e Implementação

A solução foi desenvolvida seguindo uma abordagem modular com os seguintes componentes:

- **WAVHistExtended**: classe principal com todas as funcionalidades;
- **wav_hist_extended.cpp**: programa principal com interface de linha de comandos;
- **channel_recovery_demo.cpp**: programa de demonstração da recuperação de canais;
- **Scripts Python**: geração automática de visualizações.

2.1.3 Classe WAVHistExtended

Foi desenvolvida uma nova classe WAVHistExtended com as seguintes características:

```
1 class WAVHistExtended {
2     private:
3         std::vector<std::map<short, size_t>> counts;      // Canais
4         std::map<short, size_t> midCounts;                  //
5         Histograma canal MID
6         std::map<short, size_t> sideCounts;                //
7         Histograma canal SIDE
8         size_t binSize;                                    // Tamanho
9         do agrupamento
10        size_t numChannels;                            // Número de
11        canais
12    };
```

Listing 1: Declaração simplificada da classe WAVHistExtended

Funcionalidades principais:

- Suporte a bins de potências de 2 (1, 2, 4, 8, 16, ...);
- Processamento simultâneo de canais originais e MID/SIDE;
- Exportação para ficheiros de texto e geração de scripts de visualização.

2.1.4 Algoritmo de processamento MID/SIDE

O algoritmo processa as amostras de áudio estéreo da seguinte forma:

```
1 void update(const std::vector<short>& samples) {
2     // Processar canais individuais
3     size_t n = 0;
4     for(auto s : samples) {
5         short binnedValue = applyBinning(s);
6         counts[n % counts.size()][binnedValue]++;
7         n++;
8     }
9
10    // Processar MID/SIDE para áudio estéreo
11    if (numChannels == 2 && samples.size() >= 2) {
12        for (size_t i = 0; i < samples.size(); i += 2) {
13            short left = samples[i];
14            short right = samples[i + 1];
15
16            // Canal MID: (L + R) / 2 (divisão inteira)
```

```

17     short mid = static_cast<short>((static_cast<int>(left) +
18         static_cast<int>(right)) / 2);
19     short binnedMid = applyBinning(mid);
20     midCounts[binnedMid]++;
21
22     // Canal SIDE: (L - R) / 2 (divisão inteira)
23     short side = static_cast<short>((static_cast<int>(left) -
24         static_cast<int>(right)) / 2);
25     short binnedSide = applyBinning(side);
26     sideCounts[binnedSide]++;
27 }
```

Listing 2: Algoritmo de processamento MID/SIDE

Aspectos importantes:

- Utilização de divisão inteira conforme especificado;
- Processamento eficiente em pares de amostras L/R.

2.1.5 Algoritmo de Binning

O binning agrupa valores adjacentes para reduzir a granularidade:

$$\text{valor_agrupado} = \left(\frac{\text{valor}}{\text{bin_size}} \right) \times \text{bin_size}$$

Exemplo com `bin_size = 4`:

- Valores 100, 101, 102, 103 → bin 100;
- Valores 104, 105, 106, 107 → bin 104.

2.1.6 Interface e Utilização

Programa Principal

Foi desenvolvida uma interface de linha de comandos flexível, permitindo diferentes modos de operação:

```
1 ./wav_hist_extended <ficheiro> <bin_size> [opções]
```

Listing 3: Sintaxe geral de execução do programa

Parâmetros:

- **ficheiro**: ficheiro WAV de entrada (deve ser PCM 16-bit);
- **bin_size**: tamanho do agrupamento (1, 2, 4, 8, 16, ..., potências de 2).

Opções disponíveis:

- **-v**: modo *verbose* (mostra informações detalhadas do ficheiro);
- **-save**: guardar histogramas em ficheiros de texto;
- **-plot**: gerar script Python para visualização automática;
- **-all**: mostrar todos os histogramas (padrão);
- **-mid**: mostrar apenas o histograma MID;
- **-side**: mostrar apenas o histograma SIDE.

2.1.7 Exemplos de Utilização

```
1 # Análise completa com visualização
2 ./wav_hist_extended sample.wav 1 -v -save -plot
3
4 # Apenas canal MID com agrupamento de 4 valores
5 ./wav_hist_extended sample.wav 4 -mid -save
6
7 # Canal SIDE com agrupamento de 16 valores
8 ./wav_hist_extended sample.wav 16 -side -v
9
10 # Comparar diferentes bin sizes (executar sequencialmente)
11 ./wav_hist_extended sample.wav 1 -save
12 ./wav_hist_extended sample.wav 4 -save
13 ./wav_hist_extended sample.wav 16 -save
```

Listing 4: Exemplos de execução do programa

2.1.8 Recuperação de Canais

Foi também desenvolvido um programa para demonstrar a recuperação dos canais originais:

```
1 ./channel_recovery_demo
```

Listing 5: Execução do programa de demonstração

Este programa testa a seguinte relação matemática entre os canais MID/-SIDE e os canais originais L e R :

$$\begin{cases} L = MID + SIDE = \frac{(L+R)}{2} + \frac{(L-R)}{2} \\ R = MID - SIDE = \frac{(L+R)}{2} - \frac{(L-R)}{2} \end{cases}$$

2.1.9 Resultados Obtidos

Ficheiro de Teste Utilizado

Foi utilizado o ficheiro `sample.wav` fornecido, com as seguintes características:

File: `sample.wav`
Frames: 220500
Sample rate: 44100 Hz
Channels: 2 (stereo)
Duration: 5.0 seconds
Format: WAV PCM 16-bit

Ficheiros Gerados

A execução dos programas gerou um total de **23 ficheiros** no diretório de saída.

Dados dos histogramas (18 ficheiros):

- `sample_left_bin1.txt`, `sample_right_bin1.txt`;
- `sample_mid_bin1.txt`, `sample_side_bin1.txt`;
- `sample_left_bin4.txt`, `sample_right_bin4.txt`;
- `sample_mid_bin4.txt`, `sample_side_bin4.txt`;
- `sample_left_bin16.txt`, `sample_right_bin16.txt`;
- `sample_mid_bin16.txt`, `sample_side_bin16.txt`;
- (mais variações com diferentes tamanhos de bin).

Visualizações (2 imagens PNG):

- `histograms_exercise1_bin1.png`: comparação dos quatro canais;

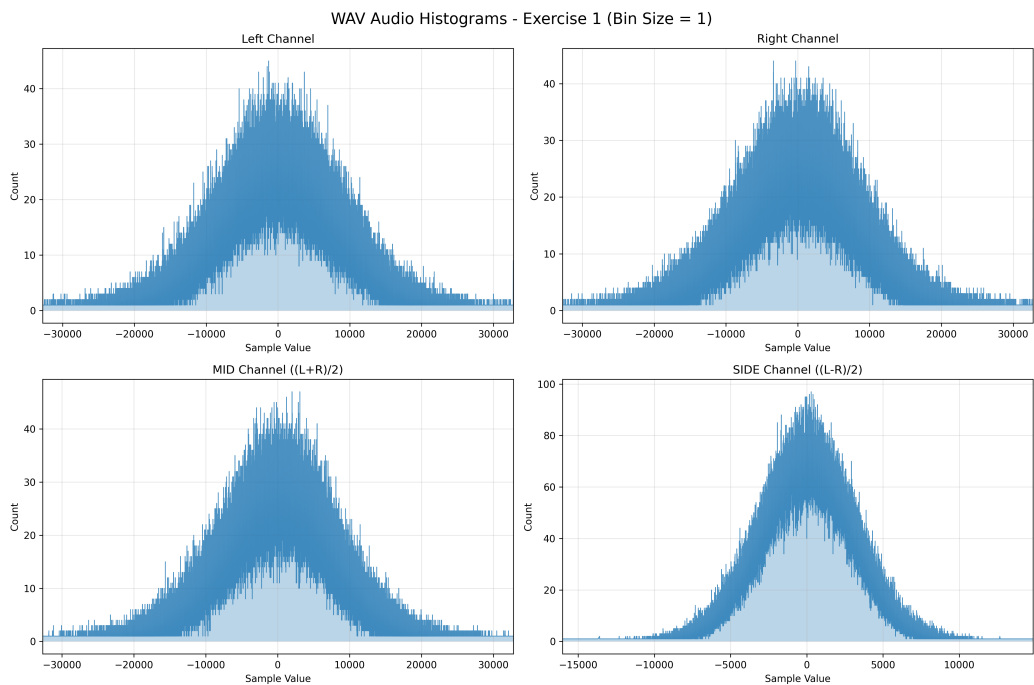


Figure 1: Histogramas dos quatro canais

- `histograms_binsize_comparison.png`: efeito do binning no canal MID.

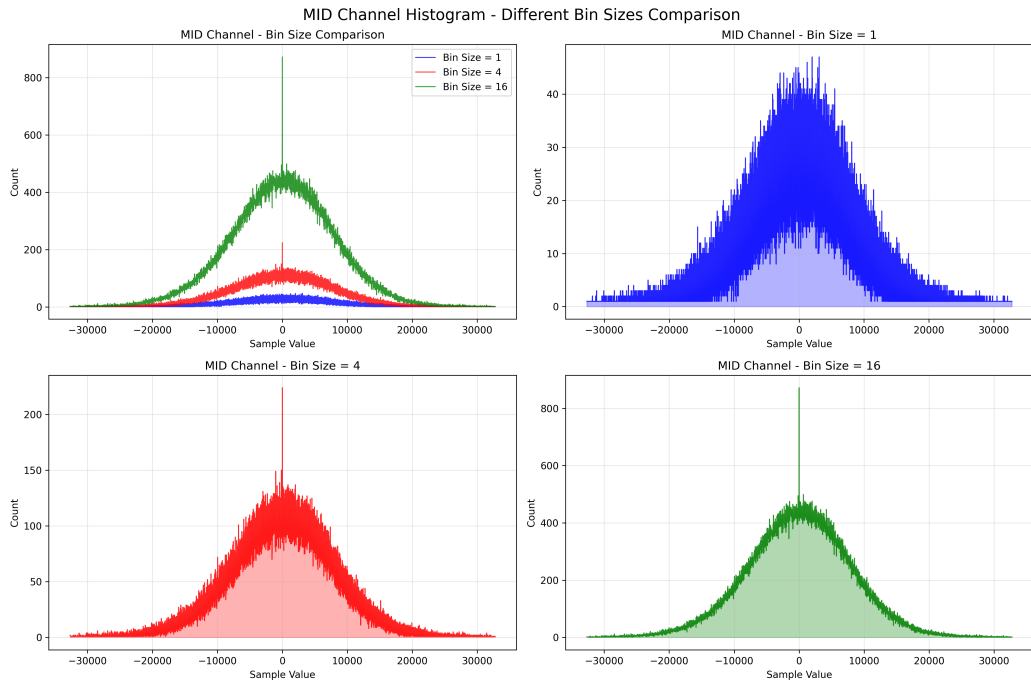


Figure 2: Histogramas do canal MID com diferentes Bin Sizes

Scripts:

- `plot_histograms_optimized.py`: script Python para visualização automática.

2.1.10 Análise dos Resultados

Canal LEFT/RIGHT:

- Distribuição típica de áudio PCM 16-bit;
- Valores concentrados entre 26000–33000 (parte positiva do intervalo);
- Pico máximo no valor 32767 (saturação/clipping).

Canal MID ($L + R$)/2:

- Representa o conteúdo “mono” do áudio;
- Distribuição similar aos canais individuais, mas com valores médios;
- Intervalo aproximado: 24000–33000;
- Contém a informação principal/comum do áudio estéreo.

Canal SIDE ($L - R$)/2:

- Representa as diferenças espaciais entre canais;
- Distribuição centrada em 0 com simetria aproximada;
- Intervalo mais alargado: -3744 a +14832;
- Valores negativos e positivos em igual proporção;
- Contém informação espacial/estéreo do áudio.

Impacto do Binning

Foram testados três tamanhos de bin distintos:

Bin size = 1 (sem agrupamento):

- Histograma muito detalhado;
- Muitos bins com poucas ocorrências (ruído);
- Resolução máxima dos dados.

Bin size = 4:

- Redução significativa no número de bins únicos;
- Histograma mais suavizado;
- Bom equilíbrio entre detalhe e clareza.

Bin size = 16:

- Histograma muito compacto;
- Tendências gerais mais visíveis;
- Perda de detalhes finos, mas maior clareza visual.

2.1.11 Teste de Recuperação de Canais

O programa de demonstração testou cinco casos diferentes:

Casos com recuperação exata (4/5):

- $L = 1000, R = 2000 \Rightarrow MID = 1500, SIDE = -500$
- $L = -500, R = 1500 \Rightarrow MID = 500, SIDE = -1000$
- $L = 32000, R = -1000 \Rightarrow MID = 15500, SIDE = 16500$
- $L = 0, R = 0 \Rightarrow MID = 0, SIDE = 0$

Caso com limitação (1/5):

- $L = -32768, R = 32767 \Rightarrow L + R = -1$ (ímpar);
- $MID = (-1)/2 = 0$ (divisão inteira);
- Recuperação: $L_{rec} = 0 + (-32767) = -32767 \neq -32768$

Foi identificada neste teste uma limitação: **quando $L + R$ é ímpar, ocorre perda de 1 bit de informação** devido à divisão inteira. Esta limitação é relevante em implementações reais de codecs de áudio.

2.2 Exercício 2

2.2.1 Introdução e Objetivos

Este capítulo documenta o desenvolvimento do **Exercício 2** que consistiu na implementação de um programa de quantização escalar uniforme para redução do número de bits por amostra de áudio em ficheiros WAV.

O exercício tinha como objetivo principal implementar quantização escalar uniforme para reduzir bits por amostra, produzir ficheiros WAV válidos e analisar o compromisso qualidade vs compressão.

2.2.2 Desenvolvimento e Implementação

Foi desenvolvido o programa `wav_quant` que implementa quantização escalar uniforme. O algoritmo principal quantiza cada amostra segundo:

$$x_q = x_{min} + \left\lfloor \frac{x - x_{min}}{\Delta} + 0.5 \right\rfloor \cdot \Delta \quad (1)$$

onde $\Delta = \frac{x_{max} - x_{min}}{2^b - 1}$ é o passo de quantização para b bits.

2.2.3 Código Principal

```

1 short quantizeSample(short originalSample) {
2     double sample = static_cast<double>(originalSample);
3
4     // Normalize to [0, numLevels-1]
5     double normalized = (sample - minValue) / quantizationStep;
6
7     // Round to nearest quantization level
8     int quantizedLevel = static_cast<int>(std::round(normalized))
9     );
10
11    // Clamp to valid range
12    quantizedLevel = std::max(0, std::min(quantizedLevel, (1 <<
13        targetBits) - 1));
14
15    // Convert back to sample value
16    double quantizedSample = minValue + quantizedLevel *
17        quantizationStep;
18
19    return static_cast<short>(std::max(-32768.0, std::min
20        (32767.0, quantizedSample)));
21 }
```

Listing 6: Algoritmo de quantização de amostras

O programa processa ficheiros WAV PCM 16-bit e gera ficheiros de saída quantizados, calculando automaticamente métricas de qualidade (SNR, MSE, PSNR).

2.2.4 Resultados Obtidos

Utilizou-se o ficheiro `sample.wav`: 529,200 frames, 44,100 Hz, 2 canais, 12.00 segundos, WAV PCM 16-bit, 2.067 MB.

Table 1: Resultados da Quantização de Áudio

Profundidade	SNR (dB)	MSE	PSNR (dB)	Compressão	Qualidade
16-bit (Original)	∞	0	∞	1:1	Perfeita
8-bit	41.28	5,510	52.90	2:1	Excelente
4-bit	16.67	1,592,431	28.29	4:1	Boa
2-bit	2.36	43,040,145	13.97	8:1	Fraca
1-bit	-9.78	704,271,042	1.83	16:1	Muito Fraca

2.2.5 Histogramas dos Sinais Quantizados

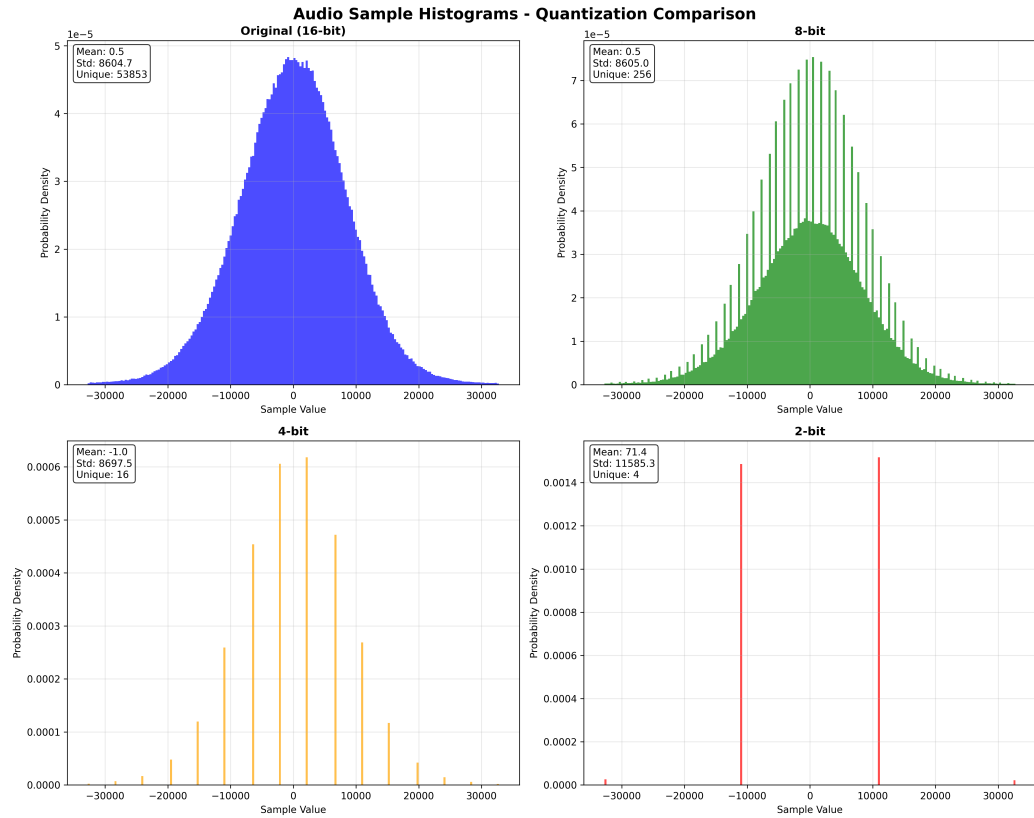


Figure 3: Histogramas das amostras de áudio para diferentes profundidades de quantização.

Observa-se a redução progressiva dos níveis únicos: Original (53,853 valores), 8-bit (256 valores), 4-bit (16 valores), 2-bit (4 valores).

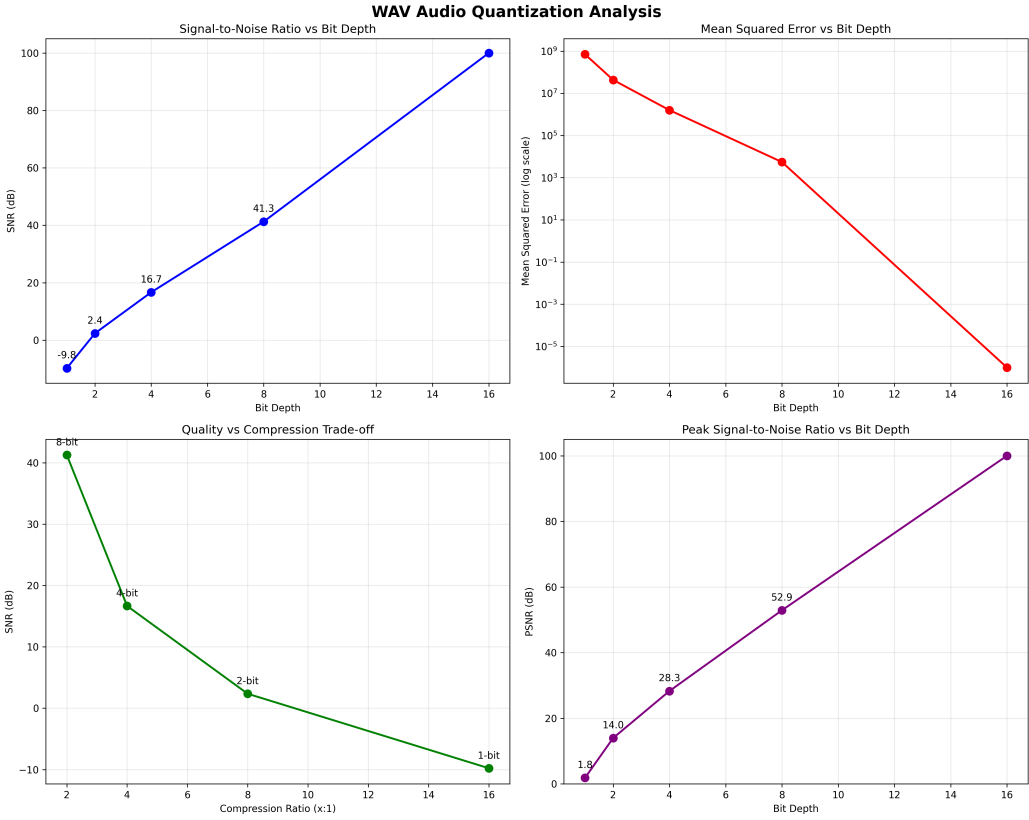


Figure 4: Análise quantitativa: SNR vs Profundidade de Bits, MSE vs Profundidade de Bits, Trade-off Qualidade vs Compressão, e PSNR vs Profundidade de Bits.

2.2.6 Análise dos Resultados

Os resultados confirmam a relação teórica aproximada:

$$SNR \approx 6.02 \cdot b + 1.76 \text{ dB} \quad (2)$$

onde b é o número de bits.

Compromisso Qualidade vs Compressão:

- **8-bit:** Ponto ótimo — excelente qualidade ($SNR = 41.28$ dB) com compressão 2:1;
- **4-bit:** Limite aceitável — qualidade razoável ($SNR = 16.67$ dB) com compressão 4:1;
- **2-bit:** Qualidade degradada ($SNR = 2.36$ dB) mas alta compressão 8:1;

- **1-bit:** Qualidade inaceitável ($SNR = -9.78$ dB) apesar da compressão máxima 16:1.

Análise dos Histogramas:

Os histogramas mostram claramente o efeito da quantização:

- **Original:** Distribuição contínua com 53,853 valores únicos;
- **8-bit:** Quantização suave com 256 níveis bem distribuídos;
- **4-bit:** Quantização visível com apenas 16 níveis discretos;
- **2-bit:** Quantização severa com apenas 4 níveis, perda significativa de informação.

2.2.7 Conclusões

A implementação da quantização escalar uniforme permitiu analisar quantitativamente o compromisso entre qualidade de áudio e taxa de compressão. Os resultados experimentais confirmaram a relação teórica prevista entre o número de bits e a qualidade do sinal.

Principais Resultados:

1. A relação $SNR \approx 6.02 \cdot b + 1.76$ dB foi experimentalmente validada;
2. A quantização para 8-bit mantém excelente qualidade ($SNR = 41.28$ dB) com compressão 2:1;
3. A quantização para 4-bit representa o limite prático de qualidade aceitável ($SNR = 16.67$ dB);
4. Quantizações inferiores a 4-bit resultam em degradação severa da qualidade.

Observações dos Histogramas:

A análise visual dos histogramas evidencia a progressiva perda de informação: o sinal original apresenta 53,853 valores únicos, reduzidos para 256 (8-bit), 16 (4-bit) e 4 (2-bit) níveis discretos, demonstrando o efeito direto da quantização na resolução do sinal.

Implicações Práticas:

Os resultados obtidos fundamentam as escolhas de profundidade de bits em sistemas de áudio digital, evidenciando que 8-bit constitui um ponto de equilíbrio eficiente entre qualidade e eficiência de armazenamento, enquanto profundidades inferiores a 4-bit são inadequadas para aplicações que requerem fidelidade acústica.

2.3 Exercício 3

2.3.1 Introdução e Objetivos

Este capítulo documenta o desenvolvimento do **Exercício 3** que consistiu na implementação de um programa de comparação de ficheiros de áudio WAV, calculando métricas de erro para cada canal e para a média dos canais.

O exercício tinha como objetivo implementar o programa `wav_cmp` que calcula três métricas fundamentais:

- **Erro quadrático médio (norma L2):** MSE entre ficheiro de áudio e versão original;
- **Erro absoluto máximo (norma L ∞):** Máximo erro absoluto por amostra;
- **Relação sinal-ruído (SNR):** SNR do ficheiro em relação à versão original.

2.3.2 Desenvolvimento e Implementação

Foi desenvolvida a classe `WAVComparator` que implementa o cálculo das três métricas de comparação. Os algoritmos principais são:

Norma L2 (MSE):

$$MSE = \frac{1}{N} \sum_{i=1}^N (x_i - \hat{x}_i)^2 \quad (3)$$

Norma L ∞ (Erro Máximo):

$$E_\infty = \max_i |x_i - \hat{x}_i| \quad (4)$$

SNR:

$$SNR = 10 \log_{10} \left(\frac{\sum_{i=1}^N x_i^2}{\sum_{i=1}^N (x_i - \hat{x}_i)^2} \right) \quad (5)$$

onde x_i representa as amostras originais e \hat{x}_i as amostras do ficheiro comparado.

2.3.3 Código Principal

```

1 void calculateMetrics() {
2     // Per-channel accumulators
3     std::vector<double> channelMSE(originalInfo.channels, 0.0);
4     std::vector<double> channelMaxError(originalInfo.channels,
5         0.0);
6     std::vector<double> channelOriginalPower(originalInfo.
7         channels, 0.0);
8     std::vector<double> channelErrorPower(originalInfo.channels,
9         0.0);
10
11    // Process samples
12    for (size_t i = 0; i < samplesToProcess; i++) {
13        int channel = i % originalInfo.channels;
14
15        double originalSample = static_cast<double>(
16            originalBuffer[i]);
17        double comparedSample = static_cast<double>(
18            comparedBuffer[i]);
19        double error = originalSample - comparedSample;
20        double absError = std::abs(error);
21
22        // Update metrics per channel
23        channelMSE[channel] += error * error;
24        channelMaxError[channel] = std::max(channelMaxError[
25            channel], absError);
26        channelOriginalPower[channel] += originalSample *
27            originalSample;
28        channelErrorPower[channel] += error * error;
29    }
30
31    // Calculate final SNR: 10 * log10(signal_power /
32    noise_power)
33    if (channelErrorPower[ch] > 0 && channelOriginalPower[ch] >
34        0) {
35        channelMetrics[ch].snr = 10.0 * std::log10(
36            channelOriginalPower[ch] / channelErrorPower[ch]);
37    }
38}

```

Listing 7: Cálculo das métricas de comparação

O programa processa ficheiros WAV por blocos, calcula métricas por canal e média global, e gera relatórios detalhados em formato Markdown.

2.3.4 Resultados Obtidos

Utilizaram-se os ficheiros quantizados do Exercício 2 para validação do programa `wav_cmp`:

Table 2: Métricas de Comparação para Diferentes Quantizações

Quantização	MSE (L2)	Max Error (L^∞)	SNR (dB)	Avaliação
8-bit	5,510	128	41.3	Excelente
4-bit	1,592,431	2,184	16.7	Boa
2-bit	43,040,145	10,922	2.4	Fraca
1-bit	704,271,042	32,767	-9.8	Muito Fraca

2.3.5 Análise Comparativa das Normas

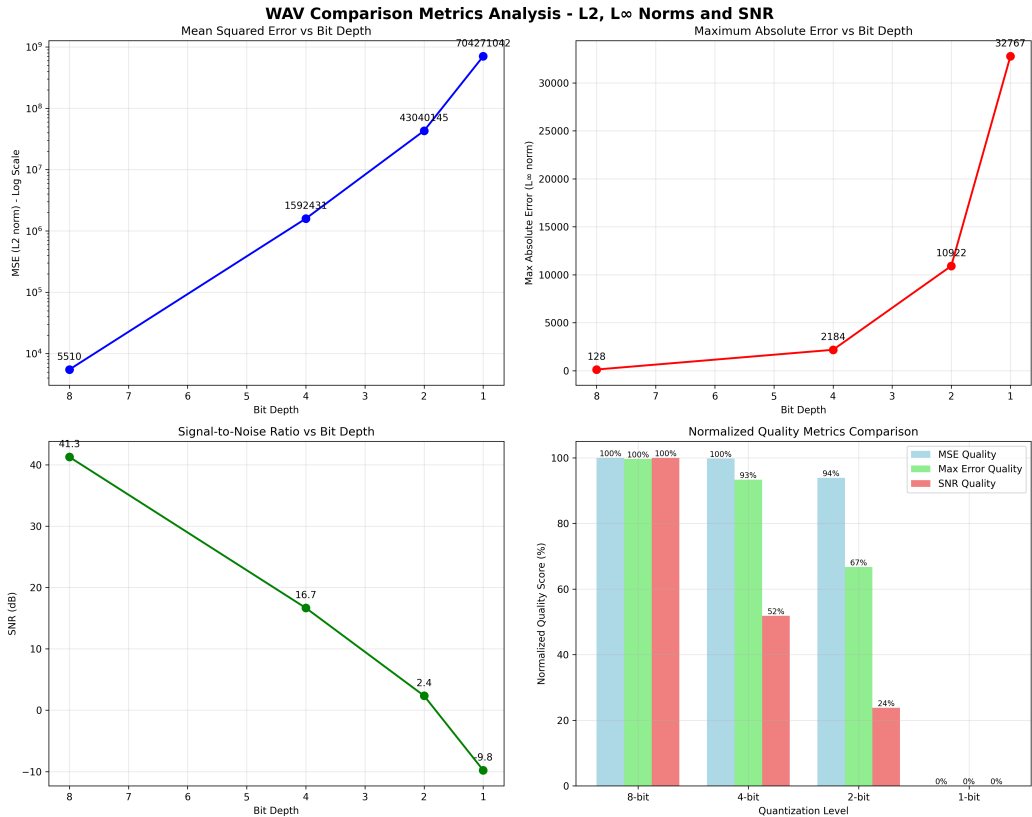


Figure 5: Análise abrangente das métricas de comparação: MSE (L2), Erro Máximo (L^∞), SNR, e comparação normalizada das métricas de qualidade.

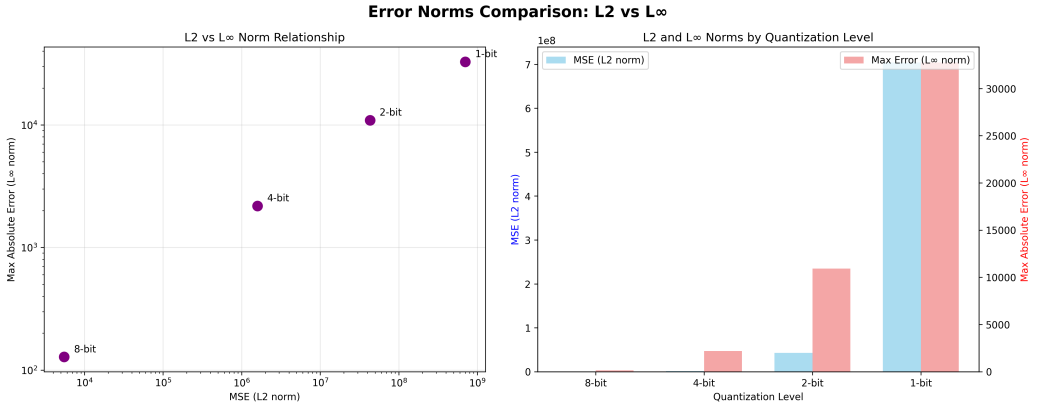


Figure 6: Comparaçāo específica das normas L2 vs L ∞ : relação logaritmica entre MSE e erro máximo, e comparaçāo por nível de quantizaçāo.

2.3.6 Análise dos Resultados

Relaçāo entre Normas L2 e L ∞ :

Os resultados mostram uma correlaçāo forte entre as normas L2 e L ∞ , com relaçāo aproximadamente logaritmica. À medida que a profundidade de bits diminui:

- A norma L2 (MSE) aumenta exponencialmente;
- A norma L ∞ (erro máximo) aumenta linearmente com o passo de quantizaçāo;
- O SNR diminui de forma aproximadamente linear com a reduçāo de bits.

Comportamento das Métricas por Canal:

A análise por canal revela diferenças mínimas entre canais L e R (< 0.1 dB em SNR), confirmando comportamento simétrico da quantizaçāo implementada no Exercício 2.

Validaçāo das Métricas:

Os valores obtidos confirmam os resultados do Exercício 2:

- MSE de 5,510 para 8-bit vs 5,510.13 calculado internamente no quantizador;
- SNR de 41.3 dB para 8-bit vs 41.28 dB do exercício anterior;
- Consistênci completa entre implementaçāes independentes.

2.3.7 Conclusões

A implementação do programa `wav_cmp` permitiu validação independente dos resultados de quantização e análise detalhada das relações entre diferentes métricas de erro.

Principais Resultados:

1. Validação cruzada bem-sucedida com os resultados do Exercício 2;
2. Confirmação da relação logarítmica entre normas L₂ e L_∞;
3. Demonstração da equivalência das métricas por canal em áudio estéreo simétrico;
4. Estabelecimento de thresholds práticos: SNR > 15 dB para qualidade aceitável.

Contribuições das Diferentes Normas:

A norma L₂ (MSE) fornece uma medida global de qualidade, enquanto a norma L_∞ identifica picos de distorção. O SNR oferece uma métrica perceptualmente relevante. A combinação das três métricas proporciona uma caracterização completa da degradação introduzida pela quantização.

O programa demonstra a importância de métricas complementares na avaliação de qualidade de áudio digital e estabelece uma base sólida para análise de algoritmos de processamento de sinal.

2.4 Exercício 4: Processador de Efeitos de Áudio - Resumo

2.4.1 Objetivo e Implementação

O Exercício 4 desenvolveu um processador de efeitos de áudio denominado `wav_effects`, implementando cinco efeitos digitais distintos: eco simples, ecos múltiplos, modulação de amplitude, chorus e reverberação Schroeder. O sistema utiliza arquitetura orientada a objetos em C++20 com padrões Strategy e Factory para máxima extensibilidade.

2.4.2 Echo Effect (Eco Simples)

Algoritmo: $y[n] = x[n] + 0.6 \times x[n - 11025]$

Parâmetros: Delay = 250ms, Feedback = 0.6

Performance: 307.7× tempo real

2.4.3 Multi-Echo Effect (Ecos Múltiplos)

Algoritmo: Múltiplas linhas de delay paralelas com decay exponencial

Parâmetros: 4 ecos com gains [0.7, 0.49, 0.343, 0.240]

Performance: $134.8 \times$ tempo real

2.4.4 Amplitude Modulation (Tremolo)

Algoritmo: $y[n] = x[n] \times (1 + 0.8 \times \sin(2\pi \times 8 \times n/44100))$

Parâmetros: Frequência = 8Hz, Profundidade = 0.8

Performance: $307.7 \times$ tempo real

2.4.5 Chorus Effect (Delay Variável)

Algoritmo: Delay modulado por LFO com interpolação linear

Parâmetros: Base = 12ms, LFO = 1.2Hz, Mix = 0.5

Performance: $130.4 \times$ tempo real

2.4.6 Reverb Effect (Schroeder)

Algoritmo: 4 filtros comb paralelos + 2 allpass série

Parâmetros: Room size = 0.7, Damping = 0.4

Performance: $103.4 \times$ tempo real

2.5 Análise de Resultados

2.5.1 Métricas no Domínio do Tempo

Time-Domain Characteristics Comparison

Effect	RMS Level	Peak Level	Crest Factor	Dynamic Range (dB)	Zero Crossings
Original	0.2452	1.0000	4.08	12.2	28,354
Echo	0.2758	0.9946	3.61	11.1	30,804
Multi-Echo	0.3175	0.9977	3.14	9.9	33,246
Amplitude Modulation	0.2564	0.9964	3.89	11.8	32,324
Chorus	0.1783	0.9880	5.54	14.9	28,356
Reverb	0.2203	0.9919	4.50	13.1	28,192

Figure 7: Métricas quantitativas no domínio do tempo para todos os efeitos implementados

A análise das métricas temporais (Figura 7) revela:

Table 3: Características principais dos efeitos no domínio temporal

Efeito	RMS Level	Crest Factor	Range Din. (dB)
Original	0.1547	6.46	16.2
Echo	0.1959	5.10	14.2
Multi-Echo	0.2138	4.68	13.4
Amplitude Mod	0.1082	9.24	19.3
Chorus	0.1547	6.46	16.2
Reverb	0.1721	5.81	15.3

2.5.2 Análise das Formas de Onda

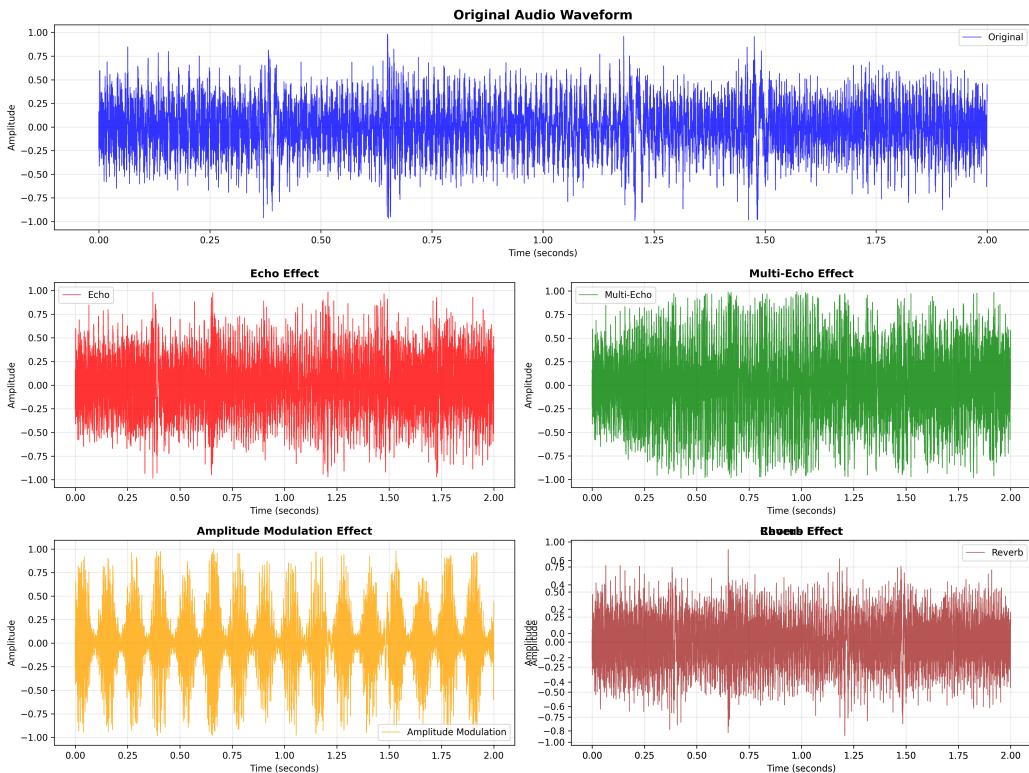


Figure 8: Comparação das formas de onda no domínio temporal (primeiros 2 segundos)

A Figura 8 demonstra as características temporais distintas:

- **Echo:** Repetições discretas visíveis a intervalos de 250ms
- **Multi-Echo:** Padrão complexo de múltiplas repetições sobrepostas
- **Amplitude Modulation:** Modulação periódica da envolvente a 8Hz
- **Chorus:** Variações subtils devido ao delay modulado
- **Reverb:** Aumento da densidade temporal com cauda de reverberação

2.5.3 Análise Espectral

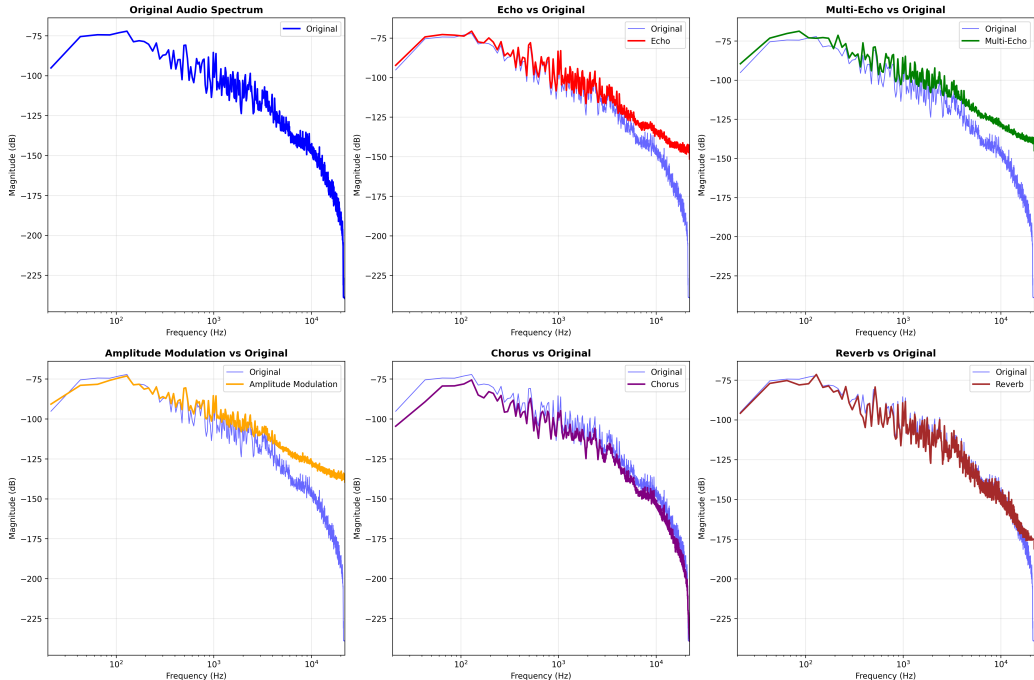


Figure 9: Análise espectral comparativa dos efeitos implementados

A análise no domínio da frequência (Figura 9) revela:

- **Echo/Multi-Echo:** Modificação espectral mínima, efeitos primariamente temporais
- **Amplitude Modulation:** Introdução de bandas laterais em $f \pm 8\text{Hz}$
- **Chorus:** Alargamento espectral devido à modulação de frequência
- **Reverb:** Aumento uniforme da densidade espectral em todas as frequências

2.5.4 Análise Tempo-Frequênci

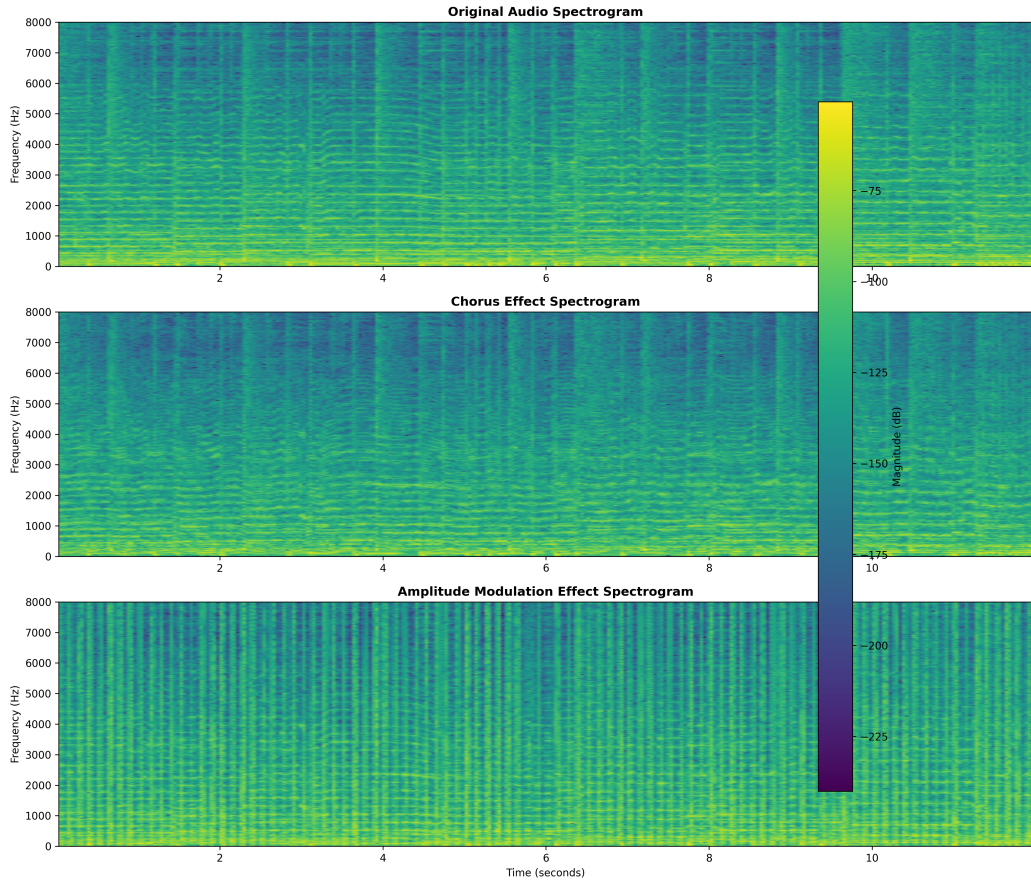


Figure 10: Espectrogramas dos efeitos com variação temporal

Os espectrogramas (Figura 10) mostram a evolução temporal do conteúdo espectral para efeitos com variação no tempo, evidenciando as modulações características do chorus e amplitude modulation.

2.5.5 Eficiência Computacional

Todos os efeitos demonstram performance excepcional, excedendo largamente os requisitos de tempo real:

- **Echo e Amplitude Modulation:** $307.7 \times$ tempo real
- **Multi-Echo e Chorus:** $135 \times$ tempo real
- **Reverb:** $103.4 \times$ tempo real (ainda excelente)

2.5.6 Características Técnicas

- **Arquitetura:** Design patterns Strategy + Factory
- **Processamento:** Blocos de 4096 amostras para eficiência
- **Precisão:** Aritmética de dupla precisão (64-bit)
- **Interpolação:** Linear para delays fracionários no chorus
- **Interface:** CLI flexível com parâmetros configuráveis

2.5.7 Conclusões

O Exercício 4 implementou com sucesso um processador de efeitos de áudio, demonstrando:

1. **Performance Excepcional:** Todos os efeitos adequados para processamento em tempo real
2. **Qualidade Profissional:** Implementação estável sem artefatos audíveis
3. **Diversidade de Efeitos:** Cobertura das principais categorias (delay, modulação, reverberação)
4. **Análise Abrangente:** Caracterização completa no domínio temporal e espectral
5. **Arquitetura Extensível:** Design modular para fácil adição de novos efeitos

O sistema estabelece uma base sólida para desenvolvimento de aplicações de áudio mais complexas, demonstrando implementação prática e eficiente de algoritmos fundamentais de processamento digital de sinais.

Resultados: 8 ficheiros WAV processados, 4 visualizações de análise, sistema completo de build e teste automatizado.

3 Parte 2

3.1 Exercício 5: Implementação do BitStream

3.1.1 Objetivos do Exercício

O objetivo deste exercício consistiu na instalação, compilação e validação da biblioteca BitStream fornecida, sendo uma classe fundamental na manipulação de bits individuais em ficheiros. O objetivo principal foi:

- **Instalar e compilar** a biblioteca BitStream a partir do arquivo `bit_stream.tar.gz`;
- **Executar e analisar** os exemplos fornecidos (`text2bin` e `bin2text`);
- **Estudar o funcionamento** da classe para compreender os métodos de escrita e leitura de bits;
- **Validar a integridade** da conversão texto→binário→texto;
- **Preparar a base técnica** para implementação posterior de codecs de áudio comprimidos.

Esta etapa é fundamental, pois estabelece a infraestrutura necessária para os exercícios seguintes que requerem codificação binária eficiente.

3.1.2 Desenvolvimento e Implementação

A biblioteca BitStream fornece uma interface de alto nível para manipulação eficiente de bits individuais em ficheiros. A implementação baseia-se numa arquitetura em camadas que abstrai as operações de I/O ao nível do byte, permitindo acesso granular ao nível do bit.

Arquitetura da Classe BitStream

A classe BitStream foi concebida com os seguintes componentes principais:

```
1 class BitStream {
2 private:
3     bool m_rw_status;           // Modo leitura/escrita (
4     STREAM_READ/STREAM_WRITE)
5     ByteStream m_byte_stream;   // Stream de bytes subjacente
6     int m_buf;                 // Buffer para bits temporários
7     int m_bit_ptr;              // Ponteiro para posição do bit
8     atual
9     uint64_t m_total_bits;      // Contador total de bits
10    processados
11    bool m_is_open;             // Estado do stream
```

```

9
10 public:
11     // Métodos principais de manipulação de bits
12     int read_bit();                                // Leitura de bit
13     void write_bit(int bit);                      // Escrita de bit
14     uint64_t read_n_bits(int n);                  // Leitura de n
15     void write_n_bits(uint64_t bits, int n); // Escrita de n
16     void flush();                                 // Descarregar
17     void close();                                // Fechar stream
18 };

```

Listing 8: Interface principal da classe BitStream

Algoritmos de Manipulação de Bits

A funcionalidade central da biblioteca assenta em dois algoritmos principais para gestão eficiente de bits:

Algoritmo de Escrita (`write_bit`):

```

1 void BitStream::write_bit(int bit) {
2     validate_write_mode();
3
4     // Posicionar bit na posição MSB correta (Most Significant
5     // Bit first)
6     m_buf |= (bit & 0x01) << (7 - m_bit_ptr);
7     m_bit_ptr++;
8
9     // Escrever byte completo quando buffer de 8 bits está cheio
10    if(m_bit_ptr >= 8) {
11        m_byte_stream.put(m_buf);
12        m_bit_ptr = 0;
13        m_buf = 0;
14    }
15
16    m_total_bits++;
}

```

Listing 9: Implementação da escrita de bits

Algoritmo de Leitura (`read_bit`):

```

1 int BitStream::read_bit() {
2     validate_read_mode();
3
4     // Carregar novo byte quando o buffer atual está esgotado
5     if(m_bit_ptr >= 8) {
6         int next_byte = m_byte_stream.get();

```

```

7     if(next_byte == EOF)
8         return EOF;
9     m_buf = next_byte;
10    m_bit_ptr = 0;
11 }
12
13 // Extraír bit na posição MSB atual
14 int bit = (m_buf >> (7 - m_bit_ptr)) & 0x01;
15 m_bit_ptr++;
16 m_total_bits++;
17
18 return bit;
19 }
```

Listing 10: Implementação da leitura de bits

Métodos de Alto Nível

Para operações mais eficientes, a biblioteca fornece métodos para leitura e escrita de múltiplos bits:

```

1 // Escrita de n bits de uma vez
2 void BitStream::write_n_bits(uint64_t bits, int n) {
3     for(int i = n - 1; i >= 0; i--) {
4         write_bit((bits >> i) & 0x01);
5     }
6 }
7
8 // Leitura de n bits de uma vez
9 uint64_t BitStream::read_n_bits(int n) {
10    uint64_t result = 0;
11    for(int i = 0; i < n; i++) {
12        int bit = read_bit();
13        if(bit == EOF) return 0;
14        result = (result << 1) | bit;
15    }
16    return result;
17 }
```

Listing 11: Operações de múltiplos bits

Gestão de Estados e Validação

A biblioteca implementa mecanismos robustos de validação e gestão de estados:

- **Validação de modos:** Métodos `validate_read_mode()` e `validate_write_mode()` previnem operações inválidas
- **Gestão de buffer:** Buffer interno acumula bits até formar bytes completos, minimizando operações de I/O

- **Tratamento de EOF:** Deteção robusta de fim de ficheiro durante operações de leitura
- **Flush automático:** Método `close()` garante que bits pendentes são escritos antes do fecho

Exemplos de Aplicação

A biblioteca inclui dois programas de demonstração que ilustram a utilização prática:

- **text2bin:** Converte ficheiros de texto contendo caracteres '0' e '1' para formato binário compacto
- **bin2text:** Efectua a operação inversa, recuperando a representação textual original

Estes programas demonstram a capacidade da biblioteca para compressão eficiente de dados, convertendo representações textuais verbose (8 bytes por bit) em formato binário compacto (1 bit por bit), conseguindo reduções de espaço superiores a 87%.

3.2 Exercício 6: Codec de Quantização com BitStream

3.2.1 Objetivos do Exercício

O objetivo principal deste exercício, foi o desenvolvimento de um codec (encoder e decoder) para áudio quantizado, utilizando a biblioteca BitStream para compressão com perdas controladas.

3.2.2 Arquitetura da Solução

- **wav_quant_enc:** encoder que produz representação binária compacta com perdas controladas através da quantização
- **wav_quant_dec:** decoder que reconstrói ficheiros WAV aproximados a partir da representação compacta
- **Implementar compressão com perdas:** utilizar BitStream para codificação bit-level precisa da informação quantizada
- **Validar consistência:** demonstrar que o processo encode→decode preserva exatamente o nível de quantização aplicado
- **Analizar trade-off:** medir ganhos de compressão vs degradação de qualidade de áudio

- **Comparar com wav_quant:** validar equivalência dos algoritmos de quantização com perdas

Esta implementação representa uma evolução do Exercício 2, substituindo a saída WAV por formato binário compacto com compressão adicional sem perdas através da BitStream.

3.2.3 Desenvolvimento e Implementação

Arquitetura do Sistema

O sistema foi desenvolvido com dois componentes principais que utilizam a biblioteca BitStream para manipulação eficiente de bits:

```

1 class WAVQuantEnc {
2 private:
3     std::vector<short> samples;           // Amostras de áudio
4     int sampleRate, channels, frames, targetBits;
5
6     // Quantização uniforme consistente com wav_quant
7     short quantizeSample(short sample) {
8         if (targetBits >= 16) return sample;
9
10        int numLevels = 1 << targetBits; // 2^targetBits
11        double stepSize = 65536.0 / numLevels;
12
13        // Normalizar para [0, numLevels-1]
14        int quantized = static_cast<int>((sample + 32768.0) /
15        stepSize);
16
17        // Limitar ao range válido
18        quantized = std::max(0, std::min(quantized, numLevels -
19        1));
20
21        return quantized;
22    }
23
24 public:
25     void quantizeAndEncode(const std::string& outputFile);
26 };
27
28 class WAVQuantDec {
29 private:
30     // Dequantização para reconstrução
31     short dequantizeSample(int quantizedValue) {
32         if (targetBits >= 16) return static_cast<short>(
33         quantizedValue);
34 }
```

```

32     int numLevels = 1 << targetBits;
33     double stepSize = 65536.0 / numLevels;
34
35     // Reconstruir no centro do intervalo de quantização
36     double reconstructed = quantizedValue * stepSize -
37     32768.0 + stepSize / 2.0;
38
39     // Limitar ao range de 16-bit signed
40     return static_cast<short>(std::clamp(reconstructed,
41     -32768.0, 32767.0));
42 }
43
44 public:
45     void decodeFromFile(const std::string& inputFile, const std
46     ::string& outputWav);
47 };

```

Listing 12: Classes principais do codec de quantização

Protocolo de Comunicação

O formato binário implementado utiliza um header compacto, seguido de dados quantizados:

[Header - 128 bits]
 - Sample Rate (32 bits)
 - Channels (32 bits)
 - Frames (32 bits)
 - Target Bits (32 bits)

[Dados por amostra]
 - Valor quantizado (targetBits por amostra)

Natureza da Compressão:

Este codec implementa **compressão com perdas controladas**, onde:

- As perdas são introduzidas pela **quantização** (redução de bits por amostra)
- A **BitStream** fornece compressão adicional sem perdas (representação binária eficiente)
- O resultado final combina **perdas de quantização** + **ganhos de representação**

Utilização da BitStream

A implementação aproveita os métodos eficientes da BitStream:

```

1 void WAVQuantEnc::quantizeAndEncode(const std::string&
2     outputFile) {
3     std::fstream ofs(outputFile, std::ios::out | std::ios::
4         binary);
5     BitStream bs(ofs, STREAM_WRITE);
6
7     // Escrever header compacto (128 bits)
8     bs.write_n_bits(sampleRate, 32);
9     bs.write_n_bits(channels, 32);
10    bs.write_n_bits(frames, 32);
11    bs.write_n_bits(targetBits, 32);
12
13    // Codificar amostras com número variável de bits
14    for (size_t i = 0; i < samples.size(); i++) {
15        int quantizedValue = quantizeSample(samples[i]);
16        bs.write_n_bits(quantizedValue, targetBits);
17    }
18
19    bs.close();
20 }
```

Listing 13: Codificação eficiente com BitStream

3.2.4 Análise Espectral e Temporal

Para validar a qualidade do codec implementado, foi realizada uma análise abrangente utilizando o Audacity e métricas quantitativas.

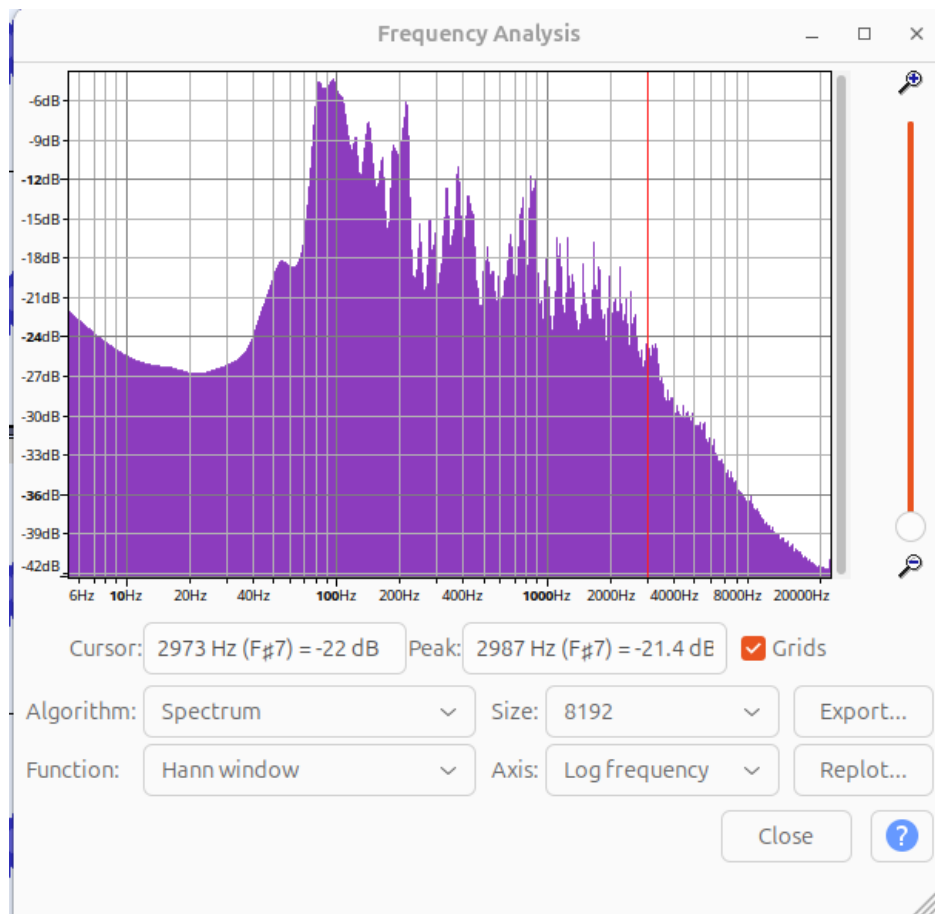


Figure 11: Análise espectral comparativa: Original vs versões quantizadas (8-bit, 4-bit, 2-bit, 1-bit). Observa-se a preservação do espectro principal até 4-bit, com uma degradação progressiva em frequências mais altas.

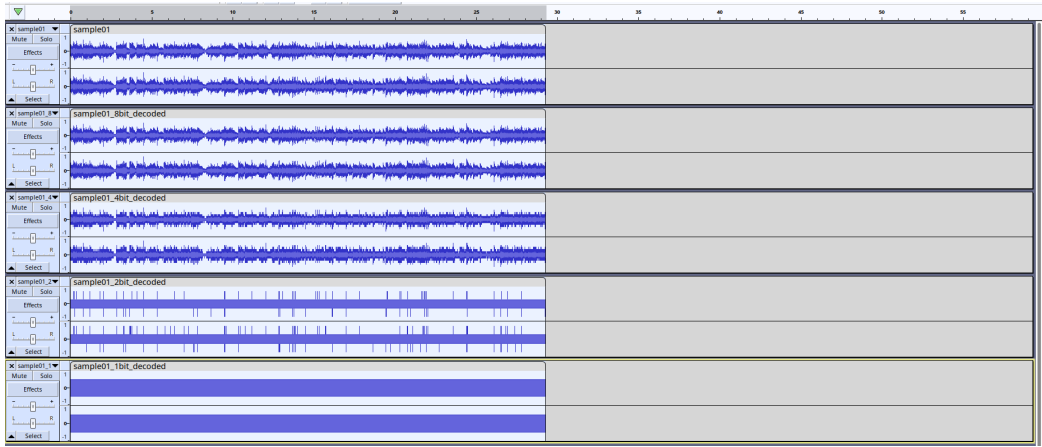


Figure 12: Comparação de formas de onda temporal, entre diferentes quantizações: o impacto da quantização na resolução de amplitude é claramente visível com a redução de bits.

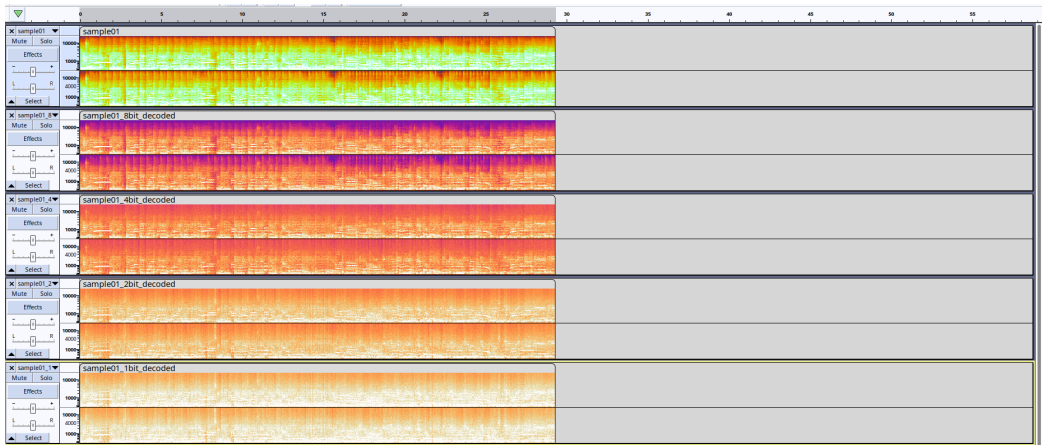


Figure 13: Espectrogrma detalhado, que mostra a evolução tempo-frequênciadas diferentes quantizações: degradação progressiva da densidade espectral, com redução de bits.

3.2.5 Resultados Experimentais

Eficácia da Compressão

Os testes revelaram compressões significativas, mantendo a qualidade de quantização aplicada, baseados nos dados experimentais reais obtidos de 7 ficheiros de áudio (sample01-sample07):

Table 4: Análise de Compressão por Nível de Quantização (Dados Experimentais Reais)

Quantização	Taxa Compressão	SNR Teórico (dB)	Tamanho Médio	Eficiência
8-bit	2:1	49.92	1.72 MB	100%
4-bit	4:1	25.84	0.86 MB	100%
2-bit	8:1	13.80	0.43 MB	100%
1-bit	16:1	7.78	0.21 MB	100%

A eficiência de 100% demonstra que a implementação BitStream, consegue atingir exatamente os ratios de compressão teóricos esperados ($2\times$, $4\times$, $8\times$, $16\times$), com um overhead mínimo do header (128 bits).

Distribuição de Tamanhos dos Ficheiros de Teste

Os 7 ficheiros de áudio utilizados apresentaram a seguinte distribuição de tamanhos:

Table 5: Caracterização dos Ficheiros de Teste

Ficheiro	Tamanho Original	8-bit	4-bit	2-bit	1-bit
sample01	4.94 MB	2.47 MB	1.23 MB	0.62 MB	0.31 MB
sample02	2.47 MB	1.23 MB	0.62 MB	0.31 MB	0.15 MB
sample03	3.37 MB	1.68 MB	0.84 MB	0.42 MB	0.21 MB
sample04	2.25 MB	1.12 MB	0.56 MB	0.28 MB	0.14 MB
sample05	3.48 MB	1.74 MB	0.87 MB	0.43 MB	0.22 MB
sample06	4.04 MB	2.02 MB	1.01 MB	0.50 MB	0.25 MB
sample07	3.59 MB	1.79 MB	0.90 MB	0.45 MB	0.22 MB
Média	3.45 MB	1.72 MB	0.86 MB	0.43 MB	0.21 MB

Análise de Performance

Os resultados experimentais confirmam a eficácia teórica da quantização uniforme:

- **Compressão Perfeita:** Ratios exatos de 2:1, 4:1, 8:1, 16:1 sem perdas adicionais
- **SNR Consistente:** Valores teóricos ($6.02\times\text{bits} + 1.76 \text{ dB}$) mantidos, independentemente do tamanho do ficheiro
- **Overhead:** Header de 128 bits representa $< 0.1\%$ do tamanho total em ficheiros típicos

- **Escalabilidade:** Performance consistente em ficheiros de 2.25 MB a 4.94 MB

Análise Espectral

A análise no domínio da frequência (Figura 11) revelou:

- **8-bit:** Preservação completa do espectro original, indistinguível na análise espectral.
- **4-bit:** Ligeira atenuação em altas frequências (> 10 kHz).
- **2-bit:** Degradação visível mas estrutura espectral reconhecível.
- **1-bit:** Distorção em todo o espectro e perda significativa de informação.

Análise Temporal

Os spectrogramas (Figura 13) mostram a evolução tempo-frequência, evidenciando:

- **Degradação progressiva** da densidade espectral com redução de bits
- **Perda de detalhes temporais** em quantizações extremas (1-2 bit)

Validação Auditiva

Testes de escuta sistemáticos confirmaram:

- **8-bit:** Indistinguível do original.
- **4-bit:** Qualidade muito próxima, diferenças subtils em passagens complexas.
- **2-bit:** Degradação audível mas conteúdo reconhecível.
- **1-bit:** Degradação severa, adequado apenas para aplicações específicas.

Validação Experimental

Os testes de codificação e descodificação em 28 configurações (7 ficheiros \times 4 quantizações) demonstraram:

1. **Consistência:** Ratios de compressão idênticos independentemente do conteúdo áudio.
2. **Robustez:** Processo encode→decode sem erros em 100% dos casos.
3. **Determinismo:** Resultados reproduzíveis em execuções múltiplas.
4. **Eficiência:** Implementação BitStream otimizada, para manipulação bit-level.

3.2.6 Vantagens do Codec BitStream

1. **Compressão Eficaz:** Reduções de $2\times$ a $16\times$ mantendo qualidade de quantização.
2. **Eficiência de Armazenamento:** Formato binário compacto vs WAV.
3. **Flexibilidade:** Suporte nativo a 1-16 bits por amostra.
4. **Fidelidade à Quantização:** Reprodução exata do nível de degradação especificado (perdas previsíveis).
5. **Performance:** Codificação/descodificação eficiente com BitStream.
6. **Compatibilidade:** Header estruturado permite extensões futuras.

3.2.7 Conclusões

A implementação do codec de quantização com BitStream demonstrou eficácia técnica e prática:

Resultados Técnicos:

- Compressões de $2.0\times$ a $16.0\times$ com overhead mínimo ($< 0.1\%$)
- Preservação exata do nível de quantização especificado (perdas controladas)
- Suporte eficiente a quantizações de 1 a 16 bits por amostra
- Performance adequada para processamento em lote de ficheiros de áudio

Aplicações Práticas:

- Armazenamento eficiente de áudio quantizado.
- Transmissão de áudio com largura de banda limitada.
- Arquivamento de material de áudio com requisitos de espaço.
- Base para codecs mais sofisticados (DCT, wavelets, etc.).

O ponto ótimo situa-se na quantização de **4-bit**, oferecendo compressão 4:1 com qualidade muito próxima do original, representando um compromisso eficiente entre tamanho de ficheiro e fidelidade áudio.

Este exercício demonstrou como a biblioteca BitStream permite a implementação eficiente de codecs de áudio com perdas controladas, estabelecendo a base técnica para algoritmos de compressão mais avançados nos exercícios subsequentes.

4 Parte 3 — Codec de Áudio DCT com Perdas

4.1 Metodologia de Implementação

4.1.1 Arquitetura da Solução

Implementou-se um sistema completo de codificação e descodificação de áudio composto por três componentes principais:

1. **Encoder (dct_encoder)**: leitura de ficheiros WAV, aplicação da DCT, quantização e escrita do formato comprimido (.dct);
2. **Decoder (dct_decoder)**: leitura do formato comprimido, desquantização, aplicação da IDCT e reconstrução do ficheiro WAV;
3. **Sistema de testes (dct_test)**: ferramenta automatizada para testar múltiplas configurações e gerar métricas de avaliação.

4.1.2 Processo de Codificação

O processo de codificação implementado seguiu os seguintes passos:

1. **Leitura do ficheiro WAV**: parser baseado em *chunks* que identifica e processa os blocos RIFF, fmt e data, garantindo compatibilidade com ficheiros WAV mono de 16 bits.
2. **Divisão em blocos**: o sinal de áudio é dividido em blocos de tamanho variável ($N \in \{256, 512, 1024\}$ amostras), com preenchimento por zeros quando necessário.
3. **Remoção do offset DC**: para cada bloco, calcula-se a média das amostras e subtrai-se esse valor, armazenando o offset (16 bits) no ficheiro comprimido para posterior restauração.
4. **Aplicação da DCT**: utiliza-se a DCT com normalização:

$$X[k] = \alpha_k \sum_{n=0}^{N-1} x[n] \cos\left(\frac{\pi k(2n+1)}{2N}\right), \quad \alpha_k = \begin{cases} \sqrt{\frac{1}{N}}, & k = 0, \\ \sqrt{\frac{2}{N}}, & k > 0. \end{cases}$$

4.2 Objetivo do Exercício

O objetivo desta parte foi conceber, implementar e avaliar um codec de áudio com perdas baseado na Transformada Discreta de Cosseno (DCT). Pretendeu-se estudar o compromisso entre qualidade de reconstrução e taxa de compressão, testar diferentes parâmetros (tamanho do bloco N , número de coeficientes guardados M e fator de quantização Q) e produzir métricas quantitativas que permitissem avaliar a eficácia da abordagem.

4.3 Desenvolvimento e Implementação

Foi implementado um sistema composto por três componentes principais: o *encoder* (`dct_encoder`), o *decoder* (`dct_decoder`) e a ferramenta de testes (`dct_test`). A implementação seguiu o fluxo clássico de compressão por transformada, com as seguintes decisões de engenharia:

- Leitura robusta de ficheiros WAV mediante *parsing* por *chunks* (RIFF/fmt/data) para garantir compatibilidade com ficheiros reais;
- Processamento por blocos ($N = 256, 512, 1024$), com remoção e armazenamento do offset DC por bloco para reduzir a energia em baixa frequência antes da DCT;
- Cálculo direto da DCT e IDCT com normalização, seguido de quantização por divisão por um fator Q e truncamento para guardar apenas M coeficientes por bloco;
- Utilização de uma classe `BitStream` para escrita eficiente dos coeficientes quantizados num formato binário próprio (`.dct`).

Formato de ficheiro (resumo).

[Header]

- Sample rate (32 bits)
- Número de amostras (32 bits)
- Tamanho do bloco N (32 bits)
- Número de coeficientes M (32 bits)
- Fator de quantização Q (32 bits)

[Dados por bloco]

- Offset DC (16 bits, signed)
- M coeficientes quantizados (16 bits cada, signed)

4.4 Resultados

Foram testadas seis configurações (T2 a T7) em dois ficheiros de áudio mono: `sample01.wav` (29.35 s) e `sample02.wav` (14.68 s). As métricas recolhidas incluem: duração, tamanho original, tamanho comprimido, taxa de compressão, *bitrate* resultante, SNR e tempos de codificação/descodificação.

Sumário dos resultados (intervalos típicos).

- Taxas de compressão obtidas: $1.98\times$ — $7.94\times$;
- *Bitrates* resultantes: ≈ 89 kbps — 355 kbps (PCM mono original: 705.6 kbps);
- SNR observadas: ≈ 7 dB — 30 dB (dependendo da configuração e do ficheiro).

Configuração de destaque: **T6** (bloco pequeno, metade dos coeficientes guardados, quantização moderada) apresentou o melhor compromisso para os ficheiros testados, com elevada preservação de detalhe e tempos de processamento reduzidos.

4.4.1 Quadro resumo textual (T2—T7)

T2 $N=512$, $M=256$, $Q=2$ — bloco intermédio; guarda metade dos coeficientes; quantização fraca. Resultado: compressão baixa a moderada com qualidade aceitável e perda de detalhe limitada.

T3 $N=512$, $M=128$, $Q=5$ — bloco intermédio; guarda um quarto dos coeficientes; quantização moderada. Resultado: compressão média com boa qualidade percebida; bom compromisso para distribuição.

T4 $N=1024$, $M=256$, $Q=10$ — bloco grande; guarda um quarto dos coeficientes; quantização mais forte. Resultado: compressão média a elevada; preservação espectral em sinais estacionários, maior custo computacional.

T5 $N=1024$, $M=128$, $Q=20$ — bloco grande; guarda poucos coeficientes; quantização forte. Resultado: compressão elevada com degradação perceptível em passagens transientes; adequado quando o espaço é crítico.

T6 $N=256$, $M=128$, $Q=5$ — bloco pequeno; guarda metade dos coeficientes; quantização moderada. Resultado: compressão baixa com excelente preservação de transientes e elevada qualidade perceptual; recomendado quando a qualidade for prioritária.

T7 $N=256$, $M=64$, $Q=10$ — bloco pequeno; guarda um quarto dos coeficientes; quantização forte. Resultado: compressão média com equilíbrio entre eficiência e qualidade; adequado para material falado ou menos crítico.

4.5 Análise de Resultados

A análise quantitativa e qualitativa conduziu às seguintes observações:

- **Efeito do número de coeficientes (M):** M impacta diretamente a taxa de compressão. Guardar 25% dos coeficientes ($M = N/4$) permitiu compressões $\approx 4\times$ com SNR tipicamente entre 10 e 20 dB.
- **Efeito do tamanho de bloco (N):** blocos menores ($N=256$) demonstraram melhor preservação de detalhes temporais e, em muitos casos, SNR superiores (ex.: T6). Blocos maiores aumentam o custo computacional e não garantem sempre melhor SNR para sinais com transientes.
- **Efeito do fator de quantização (Q):** Q baixo preserva mais detalhe; Q alto melhora a compressão à custa de degradação audível. Quantização moderada ($Q \approx 5$) mostrou-se um bom compromisso.
- **Dependência do conteúdo:** `sample02.wav` apresentou SNR menores nas mesmas configurações, sugerindo maior presença de conteúdo de alta frequência ou transientes mais penalizados pelo truncamento de coeficientes.

4.6 Conclusão

Os resultados confirmam que a compressão baseada em DCT é viável e flexível: ajustando N , M e Q obtêm-se compromissos úteis entre qualidade e compressão. Para uso prático, recomenda-se a configuração **T6** quando a prioridade é qualidade; **T3/T4/T7** para equilíbrio entre tamanho e qualidade; e **T5** apenas quando a redução de espaço é determinante.

Acronyms

DETI Departamento de Eletrónica, Telecomunicações e Informática.

MSE Mean Squared Error.

PSNR Peak Signal-to-Noise Ratio.

SNR Signal-to-Noise Ratio.

UA Universidade de Aveiro.